

تحلیل انتقال حرارت در یک صفحه مدرج با تابع درجه دوم به روش المان مرزی مبتنی بر تبدیل متغیر

حسین اشرفی^۱

دانشکده مهندسی مکانیک

دانشگاه کاشان

سید اسدالله شاکر^۱ و محمود خداداد^۲

دانشکده مهندسی مکانیک

دانشگاه یزد

(تاریخ دریافت: ۱۳۹۵/۰۹/۲۴؛ تاریخ پذیرش: ۱۳۹۶/۰۴/۱۹)

چکیده

این پژوهش، به حل معادله دیفرانسیلی حاکم بر انتقال حرارت در یک ماده غیرهمگن مدرج تابعی، با استفاده از روش المان مرزی می‌پردازد. برای این نوع مسائل، تابع گرین یا همان حل بنیادین که برای ارائه حل المان مرزی یک مسئله لازم است، به جز در موارد محدود، شناخته شده و در دسترس نیست. در این مقاله، تابع هدایت حرارتی صفحه مدرج به صورت یک تابع درجه دوم از یک راستا، فرض می‌شود. با به کارگیری یک متغیر کمکی و تبدیل متغیر، معادله دیفرانسیلی حاکم به معادله‌ای حل بنیادین شناخته شده تبدیل می‌شود و لذا می‌توان مسئله انتقال حرارت در این نوع ماده مدرج تابعی دو بعدی را با روش المان مرزی حل کرد، در صورتیکه بطور معمولی و با روش‌های رایج این کار امکان‌پذیر نیست. براساس رویکرد معرفی شده، یک کد کامپیوترا در محیط متلب نوشته شده است که صحه‌گذاری آن با حل مثال‌های مختلف و متنوع و مقایسه و بررسی نتایج آنها، صورت گرفته است.

واژه‌های کلیدی: انتقال حرارت هدایتی، روش المان مرزی، مواد مدرج تابعی، تابع درجه دوم

Analysis of Heat Conduction in a Quadratic Functionally Graded Plane by Boundary Element Method Based on the Variable Transmission Approach

A. Shaker and M. KhodadadMechanical Engineering Department
Yazd University**H. Ashrafi**Mechanical Engineering Department
University of Kashan

(Received: 14/December/2016 ; Accepted: 10/July/2017)

ABSTRACT

In this research, the governing differential equation of heat conduction problem in a non-homogenous, functionally graded material (FGM) is solved using the boundary elements method (BEM). Except for some limited cases, there is not known Green function or fundamental singular solution for this kind of problems, which is necessary to have the boundary elements analysis. In this paper, the thermal conductivity of the functionally graded plate is considered as a quadratic function of one direction and then an auxiliary variable is introduced into the governing differential equation in order to simplify the problem to a kind with known fundamental singular solution and therefore, heat transfer is solved in a 2D functionally graded material by simple boundary elements method which is not possible by common methods. Based on the proposed approach, a computer code is developed using the MATLAB. The validity of this developed code is verified by solving and analyzing a number of heat transfer problems.

Keywords: Heat Conduction, Boundary Element Method, Functionally Graded Material, Quadratic Function

۱- دانشجوی دکتری: shaker@stu.yazd.ac.ir

۲- استادیار (نویسنده پاسخگو): khodadad@yazd.ac.ir

hashrafi@kashanu.ac.ir

www.SID.ir

می‌کند که این دسته معادلات به صورت مجزا حل می‌شوند. نمونه دیگر، تحلیل انتقال حرارت یک ورق FGM دایروی متقارن محوری با تابع تغییرات دلخواه در راستای ضخامت، تحت بار حرارتی در سطح بالا و پایین است که در [۳] با تبدیل معادله دیفرانسیلی حاکم به صورت کوپل مشتقات شعاع و ضخامت، به دو معادله دیفرانسیلی معمولی تک‌متغیره، حل تحلیلی آن به صورت یک مجموع سری بر حسب تابع بسل^۵ ارائه شده است که ضرایب آن نیز با استفاده از روش خاص سری پینو-بیکر^۶ بدست می‌آید.

در بین روش‌های عددی، روش المان محدود از پرکاربردترین روش‌های عددی در حوزه‌های مختلف مسائل مهندسی می‌باشد. در روش المان محدود معمولی، هر المان به صورت همگن در نظر گرفته می‌شود، یا به عبارتی المان مدرج وجود ندارد. بنابراین، جهت تحلیل مواد مدرج تابعی با این روش، بایستی جسم را به صورت تعدادی لایه با خواص همگن برای هر لایه، در نظر گرفت که با این کار به دلیل عدم پیوستگی خواص، از دقت مسئله کاسته می‌شود، مگر این‌که تعداد لایه‌ها بسیار زیاد در نظر گرفته شود که این کار نیز به نوبه خود باعث بالا رفتن حجم محاسبات می‌شود و البته تعداد لایه مناسب باید با آزمون و خطأ به دست آید. در برخی نرم‌افزارهای رایج مبتنی بر FEM به دلیل عدم تعریف ماده FGM، باید در قالب یک زیر برنامه به نرم‌افزار معرفی شود. لذا در مجموع استفاده از FEM در تحلیل‌های FGM محدودیت‌های خاص خود را دارد.

روش‌های بدون مش که خود شامل انواع دسته‌بندی‌ها هستند، در تحلیل انتقال حرارت در مواد مدرج تابعی از فراوانی نسبتاً زیادی برخوردارند. به طور نمونه می‌توان به تحلیل اخیر مسائل دوبعدی این حوزه در [۴] و مسائل سه‌بعدی در [۵] اشاره کرد. روش بدون مش توسعه یافته جدیدی بنام RPIM^۷ در [۶] ارائه شده که نسبت به روش‌های متداول بدون مش یعنی^۸ EFG^۹ و MLPG^{۱۰} ساده‌تر است و ضمن دقت بیشتر و کارآیی بالاتر، همگرایی خوبی نیز دارد. البته روش توسعه یافته MLPG با ویژگی‌های خاص نیز اخیراً در [۷] مورد استفاده قرار گرفته است.

۱- مقدمه

مواد مدرج تابعی (FGM^{۱۱}) موادی مرکب از دو یا چند فاز هستند که معمولاً درصد ترکیب فازها در یک راستای خاص و به تبع آن خواص ترمومکانیکی آن‌ها در آن راستا تغییر می‌کند. مزیت اصلی استفاده از این مواد به عنوان جایگزینی برای اتصال مستقیم دو ماده نامشابه، هموارسازی توزیع تنش‌های حرارتی در میان لایه‌ها و لذا حذف و یا کاهش تنش‌های پسماندی است که اغلب هنین سرد شدن از دمای کاری و یا در هین سرویس، در اثر تفاوت ضرایب انبساط حرارتی بین فلز و پوشش متفاوت از نظر جنس به وجود می‌آیند و می‌توانند باعث بروز ترک شوند. به عبارتی این مواد راه حل ایده‌آلی برای مشکل عدم تطابق خواص ترمومکانیکی در فصل مشترک اتصالات هستند. همچنین در این مواد درجه‌بندی گسترهای از خواص فیزیکی و یا شیمیایی قابل حصول است. این ویژگی‌ها سبب شده کاربرد این مواد در سال‌های اخیر به شدت مورد توجه قرار گیرد. مروری بر کارهای انجام شده در این زمینه و مدل‌سازی و تحلیل FGM در [۱۲] آمده است.

از آن‌جا که مواد مدرج تابعی در اغلب کاربردهایشان در معرض بارگذاری حرارتی هستند، تحلیل انتقال حرارت آن‌ها با هدف تعیین دما و شار حرارتی در نقاط مختلف جسم، در سال‌های اخیر مورد توجه واقع شده است. اغلب این تحلیل‌ها با استفاده از روش‌های عددی مختلف روش المان محدود (FEM^{۱۳})، روش‌های فاقد مش^{۱۴} و روش المان مرزی (BEM^{۱۵}) صورت گرفته است، زیرا ارائه حل تحلیلی در این حوزه هر چند غیرممکن نیست، اما اغلب پیچیده، محدود به حالت‌های خاص و همراه با در نظر گرفتن فرضیات ساده‌کننده است. به طور مثال توزیع حرارت غیرپایدار یک‌بعدی در سیلندر FGM ضخیم توالی با تولید دمای غیریکنواخت در [۲] با این فرض ارائه شده است که خواص ماده به صورت تابع توانی برحسب شعاع در یک بعد تغییر کند و نیز توزیع دما تابعی از شعاع و زمان باشد. برای حل مسئله از روشهای استفاده شده است که معادله دیفرانسیلی جزئی غیرخطی مختلط را به یک سری معادلات دیفرانسیلی خطی و غیرخطی ساده‌تر تبدیل

5- Bessel

6 - Peano-Baker

7- Radial Point Interpolation Method

8- Element Free Galerkin

9- Meshless Local-Petrov Galerkin

1- Functionally Graded Material

2- Finite Element Method

3- Meshless Methods

4- Boundary Element Method

(z) $k(x, y, z)$ از خواص ماده و در حالت کلی وابسته به مکان است و q به عنوان شار به صورت زیر تعریف می‌شود:

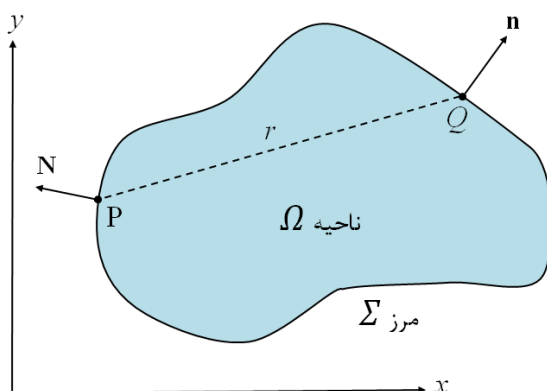
$$q = -k(x, y, z) \frac{\partial \phi}{\partial n} \quad (2)$$

معادله فوق بر رنج وسیعی از مسائل فیزیکی نظریه هدایت حرارتی پایا، حرکت جریان سیال، جریان در محیط متخلخل، الکترواستاتیک و مگنتواستاتیک حاکم است. شکل ۱ توصیف کلی از این مسائل را برای حالتی که تغییرات خواص فقط در راستای z باشد، نشان می‌دهد.

به طور کلی تابع گرین متناظر با معادله حاکم بر این مسائل باید در رابطه (۳) صدق کند [۱۰]:

$$\nabla \cdot (k(x, y, z) \nabla G) = -\delta(Q - P) \quad (3)$$

از آنجا که تابع گرین یا همان حل بنیادین برای این نوع مسائل در حالت کلی در دست نیست، امکان ارائه حل کلی به روش المان مرزی نیز وجود نخواهد داشت. در این حالات، یک راه حل تخمین ماده غیرهمگن با تعدادی لایه همگن است، به طوری که برای هر لایه، حل همگن اعمال و شرایط پیوستگی، در مراتب مترک ارضا شود. این روش از دقت زیادی برخوردار نیست. همچنین امکان افزایش دقت با افزایش تعداد لایه‌ها، با محدودیت ناشی از افزایش حجم محاسبات همراه است.



شکل (۱): هندسه کلی مسئله پتانسیل دوبعدی در ناحیه Ω با مرز Σ (P نقطه چشمی با نرمال N, Q نقطه دامنه با نرمال n).

در یک روش دیگر که برای مواد غیرهمگن به کار گرفته شده، برای غلبه بر عدم وجود تابع گرین مسئله غیرهمگن، از همان تابع گرین مسئله همگن استفاده می‌شود، اما علاوه بر گره‌های مرزی، نیازمند استفاده از تعدادی گره داخلی (جهت تعیین ضرایب مجهولی) که در پروسه حل از ماهیت تکنیک

اما در مجموع در روش‌های بدون مش، پیچیدگی خاص، محاسبات زیاد و دغدغه همگرایی وجود دارد.

در روش المان مرزی، المان‌بندی تنها روی مرز صورت می‌گیرد، لذا با کاهش یک بعد از مسئله و حجم داده‌های ورودی کمتر مورد نیاز، سبب استفاده کارآتر از رایانه می‌شود. این مزیت در حل مسائل معکوس و مسائل نیازمند مش‌بندی مجدد، کارآبی خود را بیشتر نشان می‌دهد. از مزایای دیگر این روش می‌توان به توانایی مؤثر و بالا در مدل کردن انواع محیط‌های نامحدود و پیچیده، حجم اطلاعات اولیه به مراث احتسابی، سرعت عمل و دقت محاسباتی بالاتر اشاره کرد [۸]. لذا با توجه به موارد مذکور و نیز با توجه به محدودیت‌های روش المان محدود و پیچیدگی‌های روش‌های بدون مش، استفاده از روش المان مرزی در صورت امکان در اولویت قرار دارد.

مسئله اساسی در استفاده از روش المان مرزی در تحلیل یک مسئله، تعیین حل بنیادین^۱ یا تابع گرین^۲ مربوطه می‌باشد [۹]. مواد مدرج تابعی در دسته مواد غیرهمگن قرار می‌گیرند، با این ویژگی که تغییرات خواص در آن‌ها در جهت خاص و با تابع مشخصی می‌باشد. حل بنیادین یا تابع گرین در حالت کلی برای مواد غیرهمگن، وجود ندارد، لذا ارائه حل المان مرزی برای آن‌ها محدود به حالات خاص و یا مستلزم استفاده از روش‌های کمکی، می‌شود که در بخش بعدی به برخی از آن‌ها اشاره می‌شود. در اینجا خواص حرارتی ماده مدرج تابعی به صورت یک تابع درجه دوم از یک راستا در نظر گرفته می‌شود.

۲- فرم کلی و حل المان مرزی هدایت حرارتی در مواد غیرهمگن

معادله حاکم برای تابع پتانسیل دما یعنی ϕ در ناحیه Ω با مرز Σ در یک ماده غیرهمگن در حالت کلی به صورت رابطه (۱-الف) است، به طوری که شرایط مرزی حاکم بر مسئله به صورت (۱-ب) قابل بیان است [۱۰]:

$$\nabla \cdot (k(x, y, z) \nabla \phi) = 0 \quad (1-\text{الف})$$

$$\begin{cases} \phi = \bar{\phi} & \text{on } \Sigma_1 \quad (\text{Dirichlet type}) \\ q = \bar{q} & \text{on } \Sigma_2 \quad (\text{Neumann type}) \end{cases} \quad (1-\text{ب})$$

هدف این مقاله، حل مسئله دو بعدی هدایت حرارتی در ماده مدرج به روش المان مرزی، با فرض تغییرات خواص به فرم تابع درجه دوم، و با استفاده از رویکرد تبدیل متغیر می باشد، که قبلاً مقاله ای با این خصوصیات در این زمینه منتشر نشده است.

۳- ارائه حل المان مرزی هدایت حرارتی در صفحه مدرج با تابع درجه دو

ابتدا صفحه مدرج با تغییرات درجه دوم خواص در راستای y به فرم (۷) در نظر می گیریم:

$$k(x, y, z) = k(y) = k_0(a + by)^2 = c_0 + c_1y + c_2y^2 \quad (7)$$

معادله کلی حاکم بر مسئله همان رابطه (۱) می باشد. از آنجاکه تابع گرین متناظر این مسئله برای ما ناشناخته است، از رویکرد تبدیل متغیر، سعی در تبدیل مسئله به فرمی ساده تر با تابع گرین مشخص می کنیم، لذا از یک متغیر کمکی به نام v استفاده می کنیم. با توجه به نوع تابع k در اینجا یعنی تابع درجه دوم، متغیر کمکی v را به صورت رابطه (۸) (که البته مشابه متغیر انتخابی [۱۵] می باشد) تعریف می کنیم:

$$v = \sqrt{k}\phi \quad (8)$$

که البته ϕ همگی تابعی از (x, y, z) می باشند. با این تبدیل متغیر معادله اصلی حاکم به معادله ای به فرم ساده تر تبدیل خواهد شد. با جایگذاری ϕ از رابطه (۸) در (۱) و سپس مرتب سازی آن به معادله (۹) می رسیم:

$$\nabla^2 v + \left(\frac{\nabla k \cdot \nabla k}{4k^2} - \frac{\nabla^2 k}{2k} \right) v = 0 \quad (9)$$

اگر تابع k به فرم درجه دوم یعنی رابطه (۷)، در معادله (۹) جایگذاری شود، در نهایت رابطه ساده شده زیر به دست می آید:

$$\nabla^2 v = 0 \quad (10)$$

معادله (۱۰) در واقع معادله لaplac (یا همان معادله حاکم بر انتقال حرارت در ماده همگن) است [۸]. لذا با استفاده از تبدیل متغیر، مسئله با معادله کلی (۱) با متغیر اصلی ϕ ، به معادله (۱۰) با متغیر v تبدیل شد که تابع گرین آن موجود و برای حالت دو بعدی به صورت (۱۱) است [۸]:

$$G^{2D}(P, Q) = \frac{1}{2\pi} \ln\left(\frac{1}{r}\right) \quad (11)$$

ناشی می شوند) می باشد و لذا همین امر باعث می شود که این روش علیرغم استفاده از روش المان مرزی در بطن خود، اما یک روش المان مرزی خالص محسوب نشود، زیرا در آن مزایای روش المان مرزی که مبتنی بر فقط المان بنده در مرزه است، کم نگ می شود. در [۱۱] این تکنیک برای یک مسئله با معادله حاکم و شرط مرزی به فرم کلی (۴) معرفی شده است.

$$\begin{cases} L(u) = g(x) & \text{in } x \in \Omega \\ \beta_1(x)u + \beta_2(x)q = \beta_3(x) & \text{on } x \in \Gamma \end{cases} \quad (4)$$

که در آن، $L(u)$ یک عملگر دیفرانسیلی بیضوی مرتبه دوم عمومی در نظر گرفته شده است. این تکنیک در [۱۲] برای مسئله الاستیسیته محیط غیرهمگن غیرایزوتروپ و در [۱۳] برای مسائل الاستودینامیک گذرا پیاده سازی شده است.

اما در حالت های خاصی از (x, y, z) ، که در اینجا مدنظر است، با استفاده از دو رویکرد عمدۀ می توان به حل المان مرزی خالص و دقیق رسید. رویکرد اول استفاده از روش های ریاضیاتی (مانند تبدیل لاپلاس یا فوریه و سپس مرتب سازی و اعمال تبدیل معکوس) و استخراج تابع گرین است که روش پیچیده و محدود به برخی از حالت های خاص می باشد. به عنوان مثال از این رویکرد در [۱۴] برای به دست آوردن تابع گرین معادله انتقال حرارت در ماده مدرج با تابع نمایی $e^{2\beta_0 z} = e^{2\beta_0(z)}$ استفاده شده است. با استفاده از اعمال انگرال فوریه روی معادلات حاکم، حل و ساده سازی، سپس اعمال عملگر معکوس، تابع گرین برای حالت حرارت دو بعدی و سه بعدی به ترتیب به صورت رابطه (۵) و (۶) به دست آمده است. H_0^1 در رابطه (۵)، تابع هنکل نوع اول مرتبه صفر است.

$$g^{2D}(P, Q) = \frac{i}{4} e^{-i\alpha R_z} H_0^1(\alpha r) \quad (5)$$

$$g^{3D}(P, Q) = \frac{e^{\beta_0(r+R_z)}}{4\pi r} \quad (6)$$

اما تاکنون با این رویکرد، کار مشابهی برای مواد مدرج تابعی با تابع درجه دوم، جهت تعیین تابع گرین انجام نشده است که می تواند ناشی از عدم امکان یا پیچیدگی آن باشد.

رویکرد دوم استفاده از تغییر متغیرهای خاص و تبدیل معادله حاکم بر مسئله به فرمی است که تابع گرین (یا حل بنیادین) آن شناخته شده است تا روش المان مرزی قابل اعمال بر روی مسئله شود که در [۱۵] برای مسائل پتانسیل در محیط غیرهمگن به طور کلی معرفی شده است.

به عنوان مثال برای یک مسئله دارای ۳ گره مرزی، فرم ماتریسی مسئله‌ی کمکی به صورت (۱۶) می‌باشد:

$$\begin{bmatrix} H_{11} & H_{12} & H_{13} \\ H_{21} & H_{22} & H_{23} \\ H_{31} & H_{32} & H_{33} \end{bmatrix} \begin{Bmatrix} v_1 \\ v_2 \\ v_3 \end{Bmatrix} = \begin{bmatrix} G_{11} & G_{12} & G_{13} \\ G_{21} & G_{22} & G_{23} \\ G_{31} & G_{32} & G_{33} \end{bmatrix} \begin{Bmatrix} \frac{\partial v_1}{\partial n} \\ \frac{\partial v_2}{\partial n} \\ \frac{\partial v_3}{\partial n} \end{Bmatrix} \quad (16)$$

حال فرض می‌شود شرایط مرزی اصلی به صورت (۱۷) است:

$$\begin{cases} \bar{q}_1, \bar{\phi}_2, \bar{q}_3 & \text{known quantities} \\ \phi_1, q_2, \phi_3 & \text{unknown quantities} \end{cases} \quad (17)$$

در نتیجه مجہولات مسئله کمکی نیز عبارتند از: $v_1, \frac{\partial v_2}{\partial n}$, v_3 در دستگاه (۱۸) باید همگی به سمت چپ تساوی منتقل شوند تا معادلات مرتب شود:

$$\begin{bmatrix} H_{11} & -G_{12} & H_{13} \\ H_{21} & -G_{22} & H_{23} \\ H_{31} & -G_{32} & H_{33} \end{bmatrix} \begin{Bmatrix} v_1 \\ \frac{\partial v_2}{\partial n} \\ v_3 \end{Bmatrix} = \begin{bmatrix} G_{11} & -H_{12} & G_{13} \\ G_{21} & -H_{22} & G_{23} \\ G_{31} & -H_{32} & G_{33} \end{bmatrix} \begin{Bmatrix} \frac{\partial v_1}{\partial n} \\ v_2 \\ \frac{\partial v_3}{\partial n} \end{Bmatrix} \quad (18)$$

حال بردار سمت راست دستگاه معادلات (۱۸) با استفاده از روابط (۸) و (۱۳) به شکل زیر بازنویسی می‌شود:

$$\begin{cases} \frac{\partial v_1}{\partial n} = \frac{1}{2k} \frac{\partial k}{\partial n} v_1 - \frac{\bar{q}_1}{\sqrt{k}} \\ v_2 = \sqrt{k} \bar{\phi}_2 \\ \frac{\partial v_3}{\partial n} = \frac{1}{2k} \frac{\partial k}{\partial n} v_3 - \frac{\bar{q}_3}{\sqrt{k}} \end{cases} \quad (19)$$

با جایگذاری (۱۹) در (۱۸) و انتقال مجہولات به یک سمت و مرتب‌سازی، در نهایت دستگاه معادلات (۲۰) حاصل می‌شود:

$$\begin{bmatrix} (H_{11} - \frac{G_{11} \frac{\partial k}{\partial n}}{2k}) & -G_{12} & (H_{13} - \frac{G_{13} \frac{\partial k}{\partial n}}{2k}) \\ (H_{21} - \frac{G_{21} \frac{\partial k}{\partial n}}{2k}) & -G_{22} & (H_{23} - \frac{G_{23} \frac{\partial k}{\partial n}}{2k}) \\ (H_{31} - \frac{G_{31} \frac{\partial k}{\partial n}}{2k}) & -G_{32} & (H_{33} - \frac{G_{33} \frac{\partial k}{\partial n}}{2k}) \end{bmatrix} \begin{Bmatrix} v_1 \\ \frac{\partial v_2}{\partial n} \\ v_3 \end{Bmatrix} = \begin{bmatrix} \frac{\bar{q}_1}{\sqrt{k}} \\ \sqrt{k} \bar{\phi}_2 \\ \frac{\bar{q}_3}{\sqrt{k}} \end{Bmatrix} \quad (20)$$

از حل این دستگاه، مقادیر مجھول کمکی یعنی $v_1, \frac{\partial v_2}{\partial n}, v_3$ به دست می‌آید. حال به دست آوردن مجہولات اصلی به راحتی امکان پذیر است، بدین صورت که ϕ_1, ϕ_3 مستقیماً از روی

حل المان مرزی برای این معادله به فرم ماتریسی زیر قابل نمایش است:

$$[H]\{v\} = [G]\left\{\frac{\partial v}{\partial n}\right\} \quad (12)$$

ماتریس‌های H و G براساس خواص و هندسه جسم، شبکه‌بندی (محل قرارگیری گره‌ها و المان‌ها) و نوع المان‌ها (ثابت، خطی، درجه دو، ...) قابل محاسبه هستند. این دستگاه زمانی قابل حل است که به ازای تعداد مجہولات، شرط مرزی معلوم موجود باشد. شرط مرزی لازم برای مسئله کمکی بایستی شامل v و یا $\frac{\partial v}{\partial n}$ باشد، در حالی که در مسئله اصلی، شرط مرزی به صورت دما (ϕ) و یا شار (q) باشد. شرط مرزی $-k(x, y, z) \frac{\partial \phi}{\partial n}$ در دسترس است. بنابراین همان‌طور که مسئله اصلی به مسئله کمکی تبدیل و متغیرهای اصلی به متغیرهای کمکی تبدیل شده است، باید شرایط مرزی نیز از $\frac{\partial v}{\partial n}$ به روی v و یا $\frac{\partial v}{\partial n}$ منتقل شود. طبق رابطه (۸) داده شده است، که از روی آن $\frac{\partial v}{\partial n}$ مطابق (۱۳) به دست می‌آید:

$$\frac{\partial v}{\partial n} = \frac{\partial(\sqrt{k})}{\partial n} \phi + \sqrt{k} \frac{\partial \phi}{\partial n} = \frac{1}{2k} \frac{\partial k}{\partial n} v - \frac{q}{\sqrt{k}} \quad (13)$$

با فرض اینکه در مسئله اصلی، شرایط مرزی به صورت دما روی مرز Σ_1 برابر $\bar{\phi}$ و شار روی مرز Σ_2 برابر \bar{q} موجود باشد، یعنی:

$$\begin{cases} \phi = \bar{\phi} & \text{on } \Sigma_1 \\ q = -k \frac{\partial \bar{\phi}}{\partial n} = \bar{q} & \text{on } \Sigma_2 \end{cases} \quad (14)$$

آن‌گاه با توجه به رابطه (۸) و (۱۳)، شرایط مرزی برای مسئله کمکی، به صورت رابطه (۱۵) در می‌آید:

$$\begin{cases} v = \sqrt{k} \bar{\phi} & \text{on } \Sigma_1 \\ \frac{\partial v}{\partial n} = \frac{1}{2k} \frac{\partial k}{\partial n} v - \frac{\bar{q}}{\sqrt{k}} & \text{on } \Sigma_2 \end{cases} \quad (15)$$

ملاحظه می‌شود در عبارت دوم، مقدار مرزی به طور صریح بر حسب \bar{q} داده نشده و واپسی به مجھول v در آن گره می‌باشد. در این حالت بایستی در دستگاه معادلات، $\frac{\partial v}{\partial n}$ بر حسب مقدار معلوم \bar{q} و متغیر مجھول v جایگذاری شود. سپس دستگاه مرتب و مجہولات به یک سمت منتقل شود، به عبارتی در رابطه ماتریسی (۸)، مقادیر معلوم \bar{v} و $\frac{\partial \bar{v}}{\partial n}$ بر حسب $\bar{\phi}$ و \bar{q} جایگذاری، معلومات و مجہولات هر کدام به یک سمت رابطه ماتریسی منتقل شود تا تبدیل به یک دستگاه معادله، n مجھول و قابل حل گردد.

یعنی v و $\frac{\partial v}{\partial n}$ می‌رسیم که باید حل شوند و از حل آن و استفاده از روابط (۱۸) مقادیر مجھول ϕ و q بدست می‌آید.

$$\begin{cases} \phi = \frac{v}{\sqrt{k}} \\ q = -\sqrt{k} \left\{ \frac{\partial v}{\partial n} - \frac{1}{2k} \frac{\partial k}{\partial n} v \right\} \end{cases} \quad (22)$$

در بخش بعدی بهمنظور صحه‌گذاری کد المان مرزی نوشته شده، ابتدا یک مثال ساده که حل تحلیلی آن موجود است، حل و نتایج آن با نتایج حل تحلیلی مقایسه می‌شود. سپس بهمنظور نشان دادن کارآیی روش، مثال‌های متعدد و مختلفی با این کد حل می‌شود که بررسی صحت آن‌ها از طریق مقایسه با نتایج حاصل از حل با نرم‌افزار تجاری انسیس و نیز هم‌خوانی نتایج با دید شهودی حاصل از فیزیک حاکم بر مسئله صورت می‌گیرد.

۵- حل چند مثال و بررسی نتایج

در این بخش با استفاده از روش تشریح شده و کد تهیه شده، چند مثال حل و نتایج آن بررسی می‌شود.

۱- مثال اول: صفحه مربعی شکل با شرایط مرزی ساده

الف) صورت مسئله

یک صفحه دو بعدی با ابعاد واحد را در نظر می‌گیریم (شکل ۲) که دما در مرز بالایی 100 درجه‌ساناتی گراد و در مرز پایینی صفر است و مرزهای جانبی عایق‌کاری شده‌اند، یعنی شار حرارتی در این مرزها صفر است. فرض می‌شود جنس صفحه از یک ماده مدرج تابعی که خواص آن در راستای عمودی (۷) به صورت درجه دو تغییر می‌کند، باشد. به عبارتی دیگر ضریب هدایت حرارتی 3 در هر نقطه با تابعی به فرم رابطه (۷) تعریف می‌شود.

در این مثال $a=1$ فرض می‌شود. b به عنوان پارامتر ناهمگنی بین 0 تا 2 در نظر گرفته می‌شود. حالت $b=0$ بیانگر ماده همگن است و لذا k_0 (مقدار k به ازای $b=0$) بیانگر ضریب هدایت حرارتی برای ماده همگن متناظر می‌باشد. در این مثال $k_0=5$ در نظر گرفته شده است. اگر جسم همگن باشد، ضریب هدایت حرارتی در کل جسم ثابت است.

مجھولات کمکی محاسبه شده v_1 ، v_2 قابل تعیین است، ولی وابسته به هر دو v_2 ، $\frac{\partial v_2}{\partial n}$ می‌باشد، به عبارتی:

$$\begin{cases} \phi_1 = \frac{v_1}{\sqrt{k}} \quad , \quad \phi_3 = \frac{v_3}{\sqrt{k}} \\ q_2 = -k \frac{\partial \phi_2}{\partial n} = -k \frac{\partial}{\partial n} \left(\frac{v_2}{\sqrt{k}} \right) = \\ -\sqrt{k} \left\{ \frac{\partial v_2}{\partial n} - \frac{1}{2k} \frac{\partial k}{\partial n} v_2 \right\} \end{cases} \quad (21)$$

برای یک مسئله در حالت کلی با n المان نیز باید پروسه مشابهی اجرا شود.

۴- کدنویسی مسئله براساس روند تشریح شده

در این پژوهش، کدنویسی روند تشریح شده در بخش قبل، با استفاده از برنامه متلب^۱ انجام شده است که امکان حل مسئله هدایت حرارتی در یک صفحه مدرج با فرض تغییرات خواص به فرم درجه دوم (رابطه ۷) با روش المان مرزی را فراهم می‌کند.

در این کد ابتدا مختصات گره‌ها و شرایط مرزی در گره‌ها در قالب دما و یا شار گرفته می‌شود. به دلیل پیوستگی دما، برای دما در هر گره یک مقدار وجود دارد. از آنجا که شرط پیوستگی برای شار در یک نقطه ضروری نیست و ممکن است شرایط مرزی قبل و بعد از یک گره متفاوت باشد (که اغلب در گره‌های لبه‌ای رخ می‌دهد)، برای هر گره دو مقدار شار، یکی برای قبل از گره و دیگری برای بعد از گره، در محاسبات لحاظ می‌شود. سپس براساستابع تغییرات k ، مقدار k و نیز $\frac{\partial k}{\partial n}$ در هر گره و بر حسب مختصات آن محاسبه می‌شود.

برای حل مسئله در کد تهیه شده، المان‌ها به صورت خطی فرض شده‌اند. ماتریس‌های H و G براساس روابط معمول المان مرزی، تشکیل می‌شود. با استفاده از رویکرد تغییر متغیر تشریح شده در بالا، متغیرها و شرایط مرزی مسئله اصلی همگی به روی معادله کمکی در قالب معادله لاپلاس (به فرم $\nabla^2 v = 0$) منتقل می‌شوند. لذا ابتدا با انتقال شرایط مرزی از متغیر اصلی به متغیر کمکی و مرتب‌سازی دستگاه و انتقال تمامی مجھولات به سمت چپ و معلومات به راست، در نهایت به دستگاه معادلات بر حسب متغیرهای کمکی و مشتقات آن‌ها

به صورت خطی بین 0 تا 100 تغییر می‌کند. مقدار تحلیلی شار نیز طبق (۲۴) بدست می‌آید.

$$q = k \frac{\partial T}{\partial y} \rightarrow q = 100k_0 a(a + bL)/L \quad (24)$$

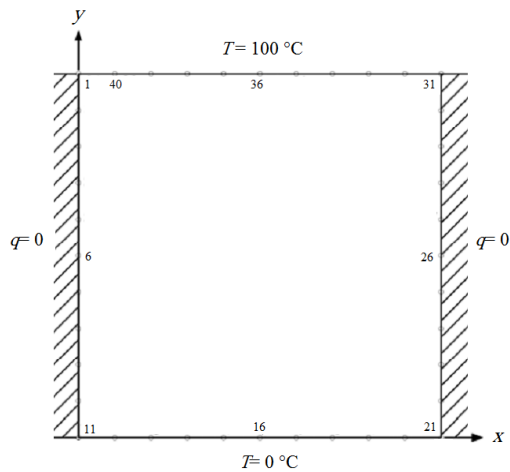
ملاحظه می‌شود که شار تنها به پارامترهای ثابت a ، b و L وابسته است و لذا در این مثال مقدار شار در راستای y ، در تمام نقاط جسم ثابت است. همچنین شار نسبت به پارامتر b رابطه خطی دارد.

ج) حل مسئله به روش المان مرزی و صحنه‌گذاری نتایج در کد نوشته شده، ابتدا فایل حاوی ورودی‌ها شامل مختصات و شرایط مرزی هر گره و ضرایب تابع درجه دوم تغییرات خواص شامل a ، b و k_0 (یا c_0 ، c_1 ، c_2) در صورت استفاده از فرم دیگر رابطه (۷) به برنامه داده می‌شود. در این مثال $a=1$ و $k_0=5$ فرض شده است و مقدار b بین صفر تا 2 تغییر می‌کند. حالت $b=0$ معادل ماده همگن می‌باشد. لذا مقدار تابع در هر گره از روی ضرایب ثابت و مختصات y آن گره طبق k تابع مفروض (۷) محاسبه می‌شود.

با اجرای برنامه، نتایج شامل مقدار دما در گره‌های جانبی (و لذا تغییرات دما در راستای y) و شار در گره‌های وجوده بالا و پایین صفحه به دست می‌آید.

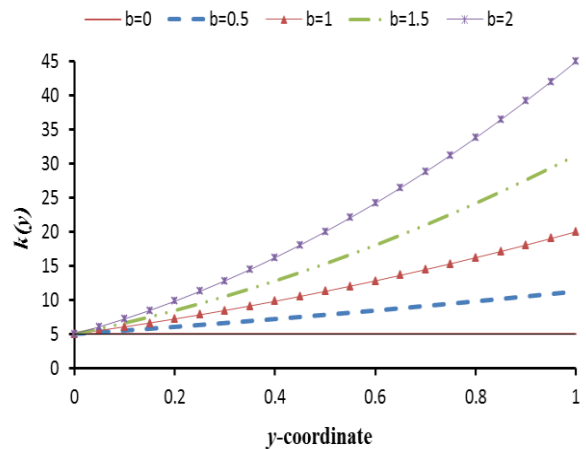
برای بررسی روش و مقایسه، مسئله با 32 ، 24 و 16 گره مرزی حل می‌شود. ملاحظه می‌شود به دلیل ساده‌بودن مسئله، حتی با 16 گره مرزی (4 المان در هر وجه) نیز نتایج از دقت بسیار بالایی برخوردار است، به طوری که بر نتایج تحلیلی انطباق خوبی دارد. افزایش بیشتر تعداد گره‌ها تأثیر زیادی بر نتایج ندارد، و این از مزایای روش المان مرزی محسوب می‌شود که با تعداد المان کم، نتایج مناسب و با دقت بالایی به دست می‌دهد.

در این مسئله، به خاطر هندسه، شرایط مرزی و نوع تابع تغییرات خواص، دمای نقاط مختلف جسم تنها در راستای y تغییر می‌کند، لذا نمودار دمای گره‌های جانبی به عنوان نمودار تغییرات دما در راستای y به ازای b های مختلف در مقایسه با حل تحلیلی در شکل ۴ ترسیم شده است. در اینجا جهت دقت بالاتر و داشتن تعداد نقاط بیشتر برای مقایسه و ترسیم نمودار، از نتایج حل به ازای 10 المان مرزی در هر وجه استفاده شده است.



شکل (۲): هندسه (صفحه مربعی به ابعاد واحد) و شرایط مرزی مثال اول.

مقدار ضریب هدایت حرارتی در نقاط مختلف جسم که به عنوان ورودی مسئله عددی لازم است، از روی تابع k یعنی رابطه (۷) قابل محاسبه است که نمودار آن بر حسب y به ازای مقادیر مختلف b شامل 0 ، 0.5 ، 1 ، 1.5 ، 2 در شکل ۳ رسم شده است.



شکل (۳): نمودار تغییرات k (تابع درجه دو) بر حسب y به ازای b های مختلف به عنوان ورودی مسئله.

ب) حل تحلیلی مثال برای هندسه فوق با طول ضلع L ، به دلیل عدم پیچیدگی، مسئله دارای حل تحلیلی به فرم (۲۳) است:

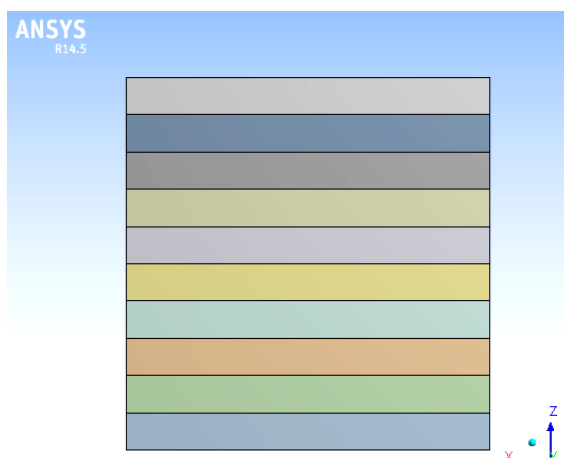
$$T(y) = 100 \frac{(a+bL)y}{(a+by)L} \xrightarrow{L=1} T(y) = 100 \frac{(a+b)y}{(a+by)} \quad (23)$$

(y) نشان‌دهنده دما در هر نقطه بر حسب y می‌باشد. همان‌طور که انتظار می‌رود، برای یک ماده همگن، دما

مبنای مقایسه و بررسی نتایج قرار خواهد گرفت. قبل از بررسی مثال‌های پیچیده، امکان استفاده از انسیس و نیز نحوه مدل‌سازی و حل مسئله هدایت حرارتی در یک ماده مدرج تابعی با آن، طی حل مجدد همین مثال ساده، به طور خلاصه در زیر نشان داده می‌شود.

۵) حل مثال اول با نرم‌افزار انسیس

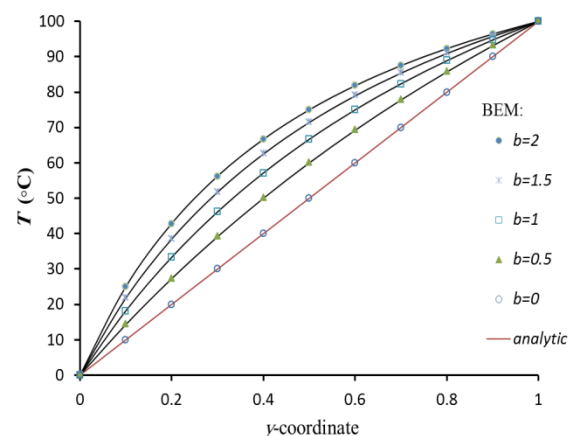
ابتدا نوع تحلیل در نرم‌افزار به صورت انتقال حرارت پایا^۲ انتخاب می‌شود. از آنجا که ماده مدرج در پیش‌فرض نرم‌افزار انسیس تعریف نشده است، برای مدل‌سازی اجسام بایستی آن‌ها را با تعدادی لایه از ماده همگن با یک مقدار ثابت خواص، جایگزین کرد (شکل ۶). تعداد لایه مناسب برای مدل‌سازی با آزمون و خطای بدست می‌آید که در اینجا پس از آزمون و خطای بین ۵ و ۲۰ لایه، در نظر گرفتن تعداد ۱۰ لایه در راستای y ، به عنوان مناسب‌ترین انتخاب تشخیص داده شد. زیرا نتایج تحلیل با ۱۰ لایه دقیق‌تر و مشهودتری نسبت به حالت ۵ لایه دارد، اما افزایش لایه‌ها به ۲۰ لایه ضمن بالا بردن زمان مدل‌سازی و تحلیل، تأثیر چندانی بر دقت ندارد.



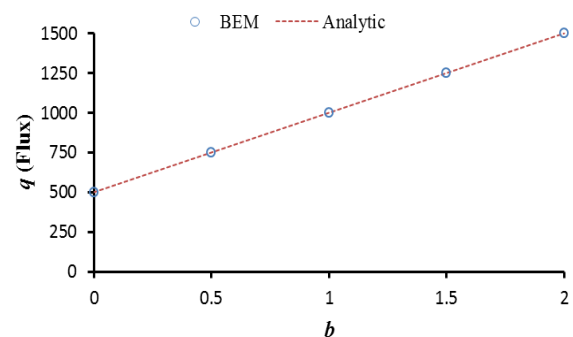
شکل (۶): مدل‌سازی ماده مدرج به صورت لایه لایه در انسیس.

پس از مدل‌سازی هندسی، نیاز به تعریف مشخصات هر لایه و اعمال شرایط مرزی است. در این‌جا مقدار k در نقطه وسط هر لایه به عنوان مقدار ضریب هدایت حرارتی آن لایه داده شده است. با اعمال شرایط مرزی و حل مسئله، مقادیر دما در راستای y به ازای b ‌های مختلف استخراج و در شکل ۷

نمودار شار بر حسب b نیز در شکل ۵ نشان داده شده است و همان‌گونه که ملاحظه می‌شود مقدار حاصل از حل المان مرزی کاملاً بر مقدار تحلیلی آن منطبق است. شکل‌های ۴ و ۵ اثر b بر توزیع دما و مقدار شار را نشان می‌دهند. در این مثال مقدار k_0 تأثیری بر دمای گره‌های جانبی ندارد، ولی مقدار ثابت شار به صورت خطی با آن تغییر می‌کند.



شکل (۴): نمودار دما در راستای y به ازای b ‌های مختلف برای مثال اول (نتایج حل المان مرزی در مقایسه با نتایج تحلیلی).



شکل (۵): نمودار شار حرارتی در راستای y بر حسب b در صفحه مدرج با تابع درجه دوم.

نتایج حاصل از حل این مثال، کارآیی روش المان مرزی و صحت کد مورد استفاده را در تحلیل هدایت حرارتی در ماده مدرج درجه دوم، به خوبی نشان می‌دهد. با این وجود، حل مثال‌های متنوع و مختلف دیگر به اعتبار پژوهش حاصل می‌افزاید که در ادامه آورده می‌شود.

مقایسه مثال فوق به دلیل سادگی، با نتایج تحلیلی امکان‌پذیر بود، اما در مسائل پیچیده‌تر بعدی، نتایج حل با نرم‌افزار انسیس^۱ و نیز درک شهودی حاکم بر فیزیک مسئله،

مشابه مثال قبل، با تبدیل صفحه به 10° لایه در راستا y ، مسئله را با نرم افزار انسیس حل می کنیم. جدول ۱ مقدار دمای گره های ۱ تا ۱۴ حاصل از حل المان مرزی را در مقایسه با حل انسیس نشان می دهد و همان طور که ملاحظه می شود با المان بندی مذکور، نتایج تقریباً بر یکدیگر منطبق هستند، به طوری که اختلاف دمایها با یکدیگر در تمام گره ها بسیار کم و زیر ۱٪ است. به خاطر تقارن، دمای گره های ۱ تا ۳۱ مساوی گره های ۱ تا ۱۴ می باشد و دما در مابقی گره ها نیز به عنوان شرط مرزی داده شده است.

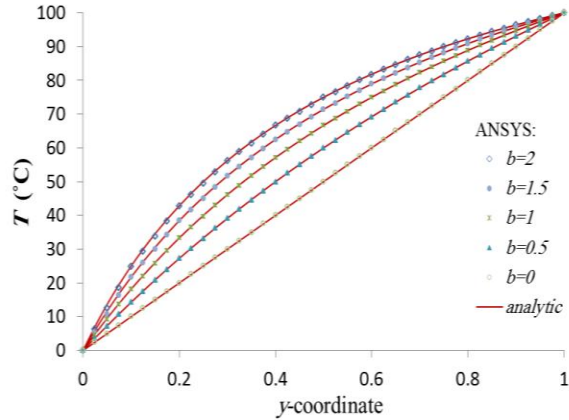
جهت ملاحظه اثر تغییر در هندسه بر توزیع دما در مرزها، نتایج حاصل از حل این مثال در مقایسه با نتایج مثال اول (با فرض یکسان بودن تابع تغییرات k) در قالب نمودار مقدار دما بر حسب شماره گره در شکل ۹ ترسیم شده است.

همان طور که مشاهده می شود تغییر هندسه، باعث تغییرات واضح در قسمت پله ای شکل شده است و همچنین مقدار دما در گره ها بالاتر از گره های متناظر در مثال قبل (مربع کامل) می باشد، زیرا شار ورودی برای خروج از وجهه پائین باید متتمرکز شود.

جدول (۱): مقایسه حل المان مرزی با انسیس در تعیین دمای گره های جانبی.

دمای گره ($^{\circ}\text{C}$)		شماره گره
انسیس	المان مرزی	
۱۰۰	۱۰۰	۱
۹۸/۶۶۵	۹۸/۶۶۲	۲
۹۷/۲۴۰	۹۷/۲۲۹	۳
۹۵/۸۵۱	۹۵/۸۳۵	۴
۹۴/۷۴۷	۹۴/۷۳۲	۵
۹۴/۲۷۷	۹۴/۳۲۵	۶
۹۳/۷۷۵	۹۳/۸۳۷	۷
۹۱/۹۸۵	۹۲/۰۲۹	۸
۸۶/۲۷۹	۸۶/۲۷۳	۹
۷۴/۵۲۲	۷۴/۹۵۹	۱۰
۶۲/۶۳۹	۶۳/۰۲۵	۱۱
۴۷/۶۵۵	۴۷/۹۷۸	۱۲
۲۷/۷۶۴	۲۷/۹۸۲	۱۳
.	.	۱۴

در مقایسه با نتایج تحلیلی ترسیم شده است، نمودارها انطباق آنها را نشان می دهد.

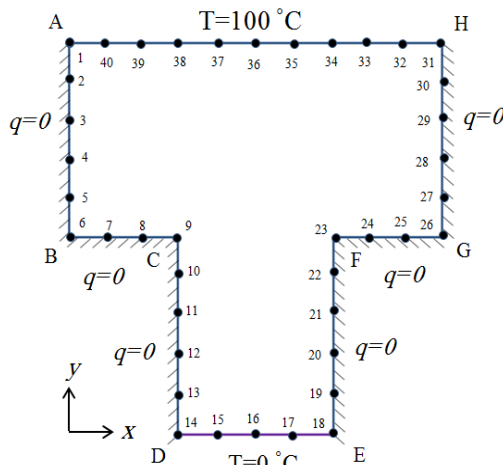


شکل (۷): نمودار دما در راستا y به ازای b های مختلف برای مثال اول (نتایج حل انسیس در مقایسه با نتایج تحلیلی).

در مثال های بعد، می توان با همین الگو به تحلیل مسئله با انسیس پرداخت و نتایج المان مرزی با نتایج آن مقایسه می شود.

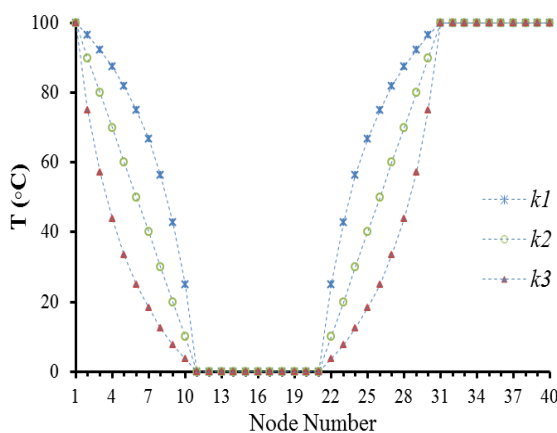
۲-۵- مثال دوم: تغییر در هندسه

مثال اول را با این تفاوت که از طرفین پائینی آن، دو پله به طور متقاضن جدا شود را در نظر می گیریم و لذا هندسه و شرایط مرزی به صورت شکل ۸ درمی آید. اضلاع AB، CD و EF و GH به ۵ المان، BC و FG به ۳ المان، DE به ۴ المان و HA به ۱۰ المان تقسیم می شود، به طوری که طول همه المان ها یکسان است. ضرایب تابع هدایت حرارتی (رابطه ۷) نیز $a=1$ ، $b=5$ و $k_0=5$ فرض می شود و سپس مسئله با کد المان مرزی حل می شود.

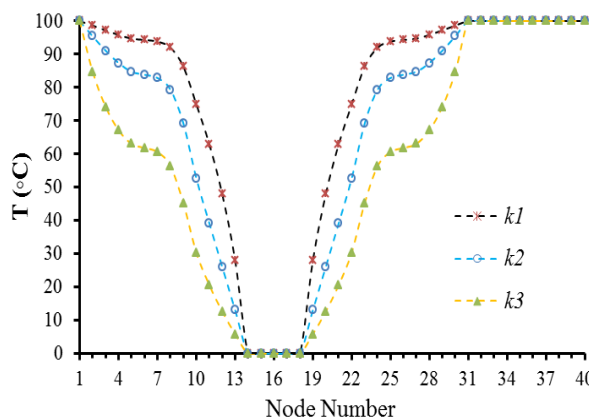


شکل (۸): هندسه و شرایط مرزی مثال دوم. www.SID.ir

حالات، کمترین مقدار را دارا می‌باشد، یعنی حالت کمینه برای میانگین دمای کل جسم را شاهد هستیم. این تحلیل ساده می‌تواند یک دید اولیه خوبی از نحوه تغییرات دمای جسم با هر هندسه و براساس نوع تغییرات خواص، به طراح می‌دهد. هدف طراح می‌تواند سریع‌ترین یا کندترین افت دما و یا بیشترین یا کمترین میانگین دما در جسم باشد که این نوع تحلیل‌ها و موارد مشابه، می‌تواند براساس نیاز طراحی، گزینه مناسب را پیشنهاد دهد.



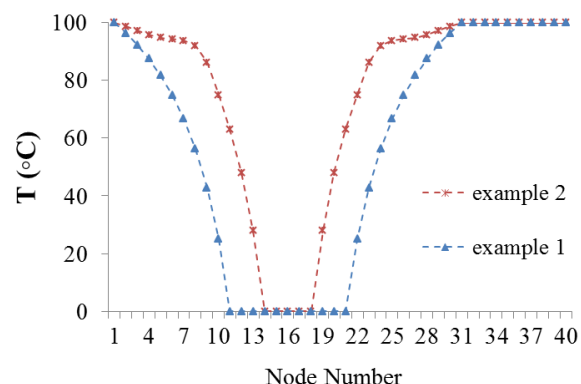
شکل (۱۰): نمودار دمای گره‌های مرزی مثال اول در
حالت‌های مختلف k



شکل (۱۱): نمودار دمای گره‌های مرزی مثال دوم در
حالت‌های مختلف k

۴-۵- مثال چهارم: اعمال شرایط مرزی متفاوت و غیرمتقارن

در این مثال، مطابق شکل ۱۲، شرایط مرزی متفاوتی نسبت به مثال‌های قبل اعمال می‌شود ولی خواص حرارتی و ضرایب آن، مشابه قبل فرض می‌شود.



شکل (۹): مقایسه دمای گره‌های مرزی مثال اول و دوم.

۳-۵- مثال سوم: بررسی اثر نحوه تغییرات k
با کد نوشته شده، می‌توان اثر نوع تغییرات k را نیز بر روند تغییرات دما در گره‌ها بررسی کرد. برای نمونه در اینجا، برای هر دو مثال قبل، سه حالت برای k در نظر می‌گیریم:
حالت اول: $k_1 = k_0(a + by)^2$ ، به عبارتی ماده مدرج با
تابع درجه دوم با روند تغییرات به صورت صعودی نسبت به y
فرض می‌شود.

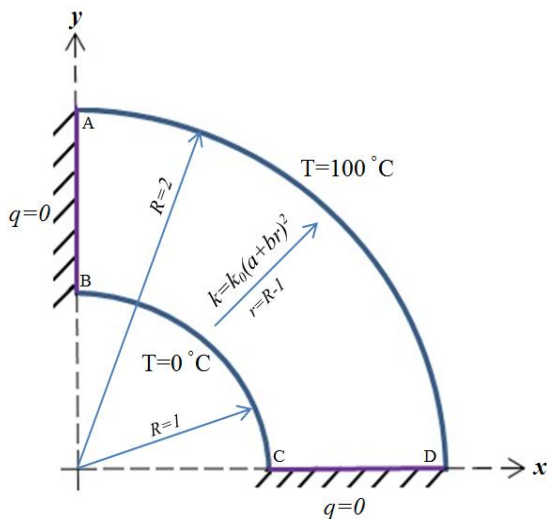
حالت دوم: $k_2 = k_0$ یا همان ماده همگن.
حالت سوم: $k_3 = k_0(a + b(1 - y))^2$ ، به عبارتی ماده
مدرج با تابع درجه دوم با روند تغییرات نزولی نسبت به y
فرض می‌شود.

سپس با فرض $a = 1$ و $b = 2$ مسئله را حل می‌کنیم. مقدار k_0 اختیاری است، زیرا دمای گره‌ها در این مثال‌ها، مستقل از آن است. دما در وجوده جانبی الزاماً از $T = 0$ در $y = 0$ تا $T = 100$ در $y = 1$ نسبت به y تغییر می‌کند و لذا همواره تغییر دما نسبت به y روند صعودی دارد یا به عبارتی دیگر هم جهت با y است. از این منظر تغییرات k در حالت اول هم علامت با تغییرات دماست و در حالت سوم عکس آن است. جهت مقایسه این موارد، پس از حل مجدد مثال‌های اول و دوم در هر سه حالت مختلف k ، نمودارهای مقدار دما در هر گره مرزی، در شکل ۱۰ و شکل ۱۱ به ترتیب برای مثال اول و دوم ترسیم شده است.

مقایسه حالات مختلف k نشان می‌دهد فارغ از نوع هندسه، در حالت اول (که روند تغییر k با روند تغییر دما در راستای y هم جهت هستند)، افت دما از سطح بالایی جسم با شیب کمتری رخ می‌دهد و بالعکس در حالت سوم افت دما از سطح بالا با بیشترین شیب رخ می‌دهد و در این حالت دمای تهمامی گره‌های مرزی نسبت به گره متناظر آن در سایر

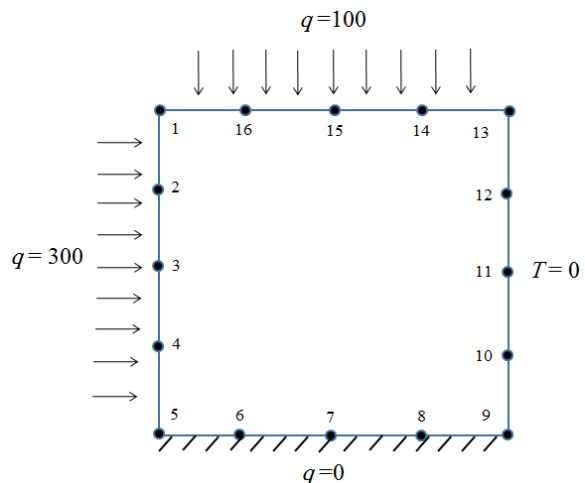
۵-۵- مثال پنجم: دیسک دایروی

در این مثال، تحلیل یک دیسک دایروی از ماده مدرج با تغییرات خواص به صورت تابع درجه دو در راستای شعاع، به طوری که سطح بیرونی آن در دمای 100°C درجه و سطح داخلی آن در دمای صفر درجه سانتی گراد ثابت نگه داشته شده است، مدنظر است. به دلیل تقارن موجود در هندسه می‌توان تنها یک چهارم آن را در نظر گرفت به طوری که شار در دو وجه کناری صفر است. لذا هندسه و شرایط مرزی مسئله با شکل ۱۳ قابل نمایش است که مشابه فیزیکی نیز با مثال اول دارد.



شکل (۱۳): هندسه و شرایط مرزی مثال پنجم.

در تحلیل مسئله با کد نوشته شده، هر کدام از وجوده مرزی، به ۱۰ المان تقسیم شده است. در این مثال نیز، از آن جا که دو سمت جسم (وجوه AB و CD) عایق است، با توجه به شرایط مرزی دمایی، بایستی حرارت از وجه AD وارد و از وجه BC خارج شود. به دلیل پایا بودن^۱ مسئله، مقدار کل حرارت ورودی (Q) با مقدار کل حرارت خروجی برابر است. در مثال اول با توجه به تقارن هندسی مربع، مقدار شار در وجوده بالا و پایین در تمام نقاط مساوی است (البته شار ورودی بالا و خروجی منفی است). اما در این مثال از آن جا که طول AD (محل ورود شار) بزرگتر از طول BC (محل خروج شار) است، لذا مقدار شار (که برابر $q=Q/L$ است در صورتی که طول مسیر باشد) در هر گره از وجه AD، کمتر از مقدار شار در گره متناظر آن روی وجه BC می‌باشد.

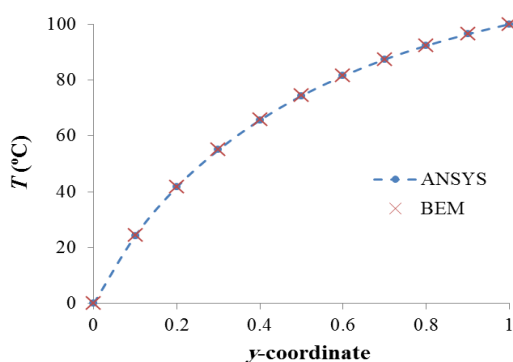


شکل (۱۲): هندسه و شرایط مرزی متفاوت در مثال چهارم.

برای حل المان مرزی ۱۶ گره لحاظ و مسئله حل می‌شود. جهت صحه‌گذاری نتایج، مشابه قبل از نرم‌افزار انسیس استفاده می‌شود که در آن جسم در راستای عابه ۱۰ لایه تقسیم شده است. نتایج دما در گره‌های مرزی حاصل از حل المان مرزی و انسیس، در جدول ۲ آمده است. با توجه به این که حداقل اختلاف دمایی محاسبه شده با این دو روش، کمتر از ۰.۲٪ می‌باشد و لذا انطباق بسیار بالا نتایج بر یکدیگر، می‌توان گفت روش از صحت و دقت بالایی برخوردار می‌باشد.

جدول (۲): دمای گره‌های مرزی حاصل از حل المان مرزی در مقایسه با نتایج انسیس.

درصد اختلاف نتایج (%)	دمای گره (°C)		شماره گره
	انسیس	المان مرزی	
۰/۲۳	۱۴/۷۰۸	۱۴/۷۴۲	۱
۰/۳۱	۱۴/۹۲۶	۱۴/۹۷۲	۲
۰/۸۳	۱۶/۵۵۹	۱۶/۶۹۷	۳
۱/۲۲	۱۹/۸۶۷	۲۰/۱۱	۴
۱/۷۳	۲۳/۴۸۵	۲۳/۸۹۱	۵
۰/۶۳	۱۴/۷۷۱	۱۴/۶۷۸	۶
۰/۳۶	۹/۲۲۴	۹/۱۹	۷
۰/۳۳	۴/۵۰۳	۴/۴۸۸	۸
۰	۰	۰	۹-۱۳
۰/۰۲	۴/۷۸۵	۴/۷۸۶	۱۴
۰/۳۶	۸/۸۳۱	۸/۸۶۳	۱۵
۰/۵	۱۲/۲۴۵	۱۲/۳۰۷	۱۶



شکل (۱۶): نمودار تغییرات دمای گره‌های مرز جانبی در راستای y (حل المان مرزی در مقایسه با انسیس).

۶- نتیجه‌گیری

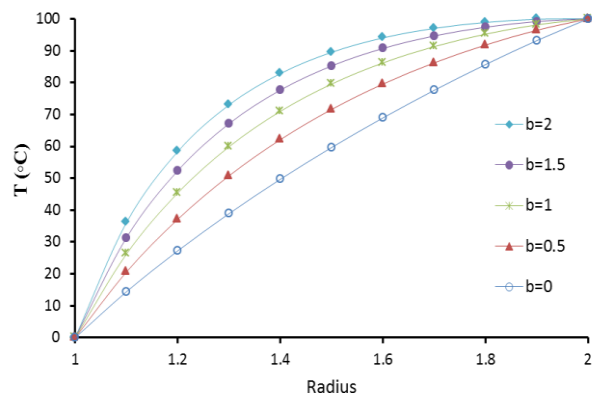
از آن جا که تحلیل مسئله انتقال حرارت در یک FGM به روش المان مرزی در حالت کلی (به دلیل عدم وجودتابع گرین یا حل بنیادین) امکان‌پذیر نیست، در این پژوهش ابتدا فرض می‌شود تغییرات خواص در یک راستا و به فرم تابع درجه دوم است. در این حالت با استفاده از رویکرد تغییرمتغیر، سعی می‌کنیم معادلات حاکم بر مسئله به فرم دیگری تبدیل شود که تابع گرین آن موجود است. با این کار امکان فرمولاسیون و حل مسئله با المان مرزی و در نتیجه بهره‌گیری از مزایا آن فراهم می‌شود. متغیر کمکی مورد استفاده در اینجا، باعث تبدیل معادله حاکم، به معادله لاپلاس می‌گردد. براساس رویکرد تشریح شده در مقاله، یک کد کامپیوتی بر مبنای روش المان مرزی در محیط برنامه‌نویسی متلب توسعه داده شده و با استفاده از آن مثال‌های متنوعی حل شده است.

به عنوان اولین مثال یک صفحه مربعی ساده که قابل حل به روش تحلیلی است، در نظر گرفته شده است. نتایج حل المان مرزی انطباق بسیار خوبی با نتایج تحلیلی آن دارد.

مثال دوم با تغییر در هندسه مثال اول همراه است. دمای گره‌های مرزی حاصل از حل با کد المان مرزی با حل انسیس چک شده است و اختلاف زیر ۰.۱٪ بین جواب‌های این دو روش، بیانگر انطباق بسیار خوب نتایج و لذا صحت روش و کد مورد استفاده می‌باشد.

در مثال سوم، با در نظر گرفتن سه تابع مختلف برای هدایت حرارتی و حل مجدد مثال‌های اول و دوم در تمامی این حالات، به بررسی اثر تابع هدایت حرارتی بر توزیع دماهای مرزی پرداخته شده است. مقایسه حالات مختلف k نیز نشان

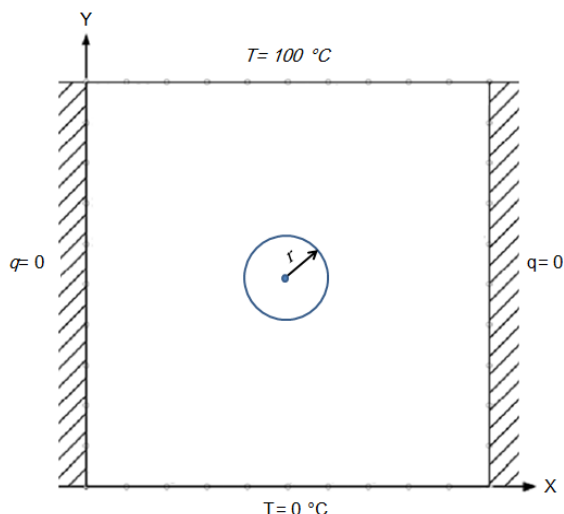
نمودار دمای گره‌ها در مرزهای جانبی بر حسب شعاع و b های مختلف در شکل ۱۶ ترسیم شده است. نتایج نشان می‌دهد که مقادیر دما در گره‌های دو مرز جانبی (CD و AB) یکسان و روند تغییرات مشابه مثال اول است اما مقدار دمای گره‌ها با توجه به تغییر هندسه متفاوت از مثال اول است.



شکل (۱۴): نمودار دمای گره‌های مرز جانبی بر حسب شعاع و b های مختلف (مثال پنجم).

۵-۶- مثال ششم: هندسه دارای حفره

در کد نوشته شده می‌توان با اعمال تغییرات، مسائل دارای حفره را نیز حل کرد. مثال اول را با وجود یک حفره به شعاع ۱۰ طول ضلع مربع، و در مرکز آن در نظر می‌گیریم (شکل ۱۵).



شکل (۱۵): صفحه دارای حفره از ماده مدرج با تابع درجه دوم.

دمای گره‌های مرزی با المان مرزی و نیز با انسیس به طور جداگانه به دست آمده و جهت مقایسه با یکدیگر در شکل ۱۶ ترسیم شده است. ملاحظه می‌شود نتایج بر یکدیگر منطبق‌اند. www.SID.ir

3. Wu-Xiang, L. "Analysis of Steady Heat Conduction for 3D Axisymmetric Functionally Graded Circular Plate", *J. Central South Uni.* Vol. 20, No. 6, pp. 1616-1622, 2013.
4. Wang, H., Qin, Q. H., and Kang, Y. L. "A Meshless Model for Transient Heat Conduction in Functionally Graded Materials", *Comput. Mech.* Vol. 38, No. 1, pp. 51-60, 2005.
5. Sladek, J., Sladek, V., Tan, C. L., and Atluri, S. N. "Analysis of Transient Heat Conduction in 3D Anisotropic Functionally Graded Solids by the MLPG Method", *Comput. Modell. Eng. Sci.* Vol. 32, No. 3, pp. 161-174, 2008.
6. Khosravifard, A., Hematiyan, M. R., and Marin, L. "Nonlinear Transient Heat Conduction Analysis of Functionally Graded Materials in the Presence of Heat Sources Using an Improved Meshless Radial Point Interpolation Method", *Appl. Math. Modell.* Vol. 35, No. 9, pp. 4157-4174, 2011.
7. Dai, B., Zhang B., Liang, Q., and Wang, L. "Numerical Solution of Transient Heat Conduction Problems Using Improved Meshless Local Petrov-Galerkin Method", *Appl. Math. Comput.* Vol. 219, No. 19, pp. 10044-10052, 2013.
8. Brebbia, C. A., and Dominguez, J. "Boundary Elements: an Introductory Course", WIT press, Southampton, UK, 1994.
9. Khodadad, M., and Dashti, M. "Boundary Elements Method", Tehran: Mogestan, 2011. (in Persian)
10. Sutradhar, A., Reeder, J., and Gray, L. J. "Symmetric Galerkin Boundary Element Method", Springer Science & Business Media, 2008.
11. Katsikadelis, J. T. "The BEM for Nonhomogeneous Bodies", *Arch. Appl. Mech.* Vol. 74, No. 11-12, pp. 780-789, 2005.
12. Nerantzaki, M. S., and Kandilas, C. B. "A Boundary Element Method Solution for Anisotropic Nonhomogeneous Elasticity", *Acta Mech.* Vol. 200, No. 3-4, pp. 199-211, 2008.
13. Kandilas, C. B. "Transient Elastodynamic Analysis of Nonhomogeneous Anisotropic Plane Bodies", *Acta Mech.* Vol. 223, No. 4, pp. 861-878, 2012.
14. Gray, L. J., Kaplan, T., Richardson, J. D., and Paulino, G. H. "Green's Functions and Boundary Integral Analysis for Exponentially Graded Materials: Heat Conduction", *J. Appl. Mech.* Vol. 70, No. 4, pp. 543-549, 2003.
15. Sutradhar, A., and Paulino, G. H. "A Simple Boundary Element Method for Problems of Potential in Nonhomogeneous Media", *Int. J. Numer. Methods Eng.* Vol. 60, No. 13, pp. 2203-2230, 2004.

می‌دهد فارغ از نوع هندسه، در حالت اول که روند تغییر k با روند تغییر دما در راستای y هم‌جهت هست، افت دما از سطح بالایی جسم با شبکه کمتری رخ می‌دهد و بالعکس در حالت سوم افت دما از سطح بالا با بیشترین شبکه رخ می‌دهد. در حالت سوم دمای تمامی گره‌های مرزی نسبت به گره متناظر آن در سایر حالات، کمترین مقدار را دارد می‌باشد، یعنی حالت کمینه برای میانگین دمای کل جسم را در این حالت شاهد هستیم. در قالب این مثال ملاحظه می‌شود که یک طراح می‌تواند از این نوع تحلیل‌ها برای دستیابی به دید اولیه خوب از اثر پارامترهای مختلف هندسه، نوع تابع و شرایط مرزی، بر توزیع دمای مرزی استفاده کند و براساس نیاز طراحی خود (مانند سریع‌ترین/کندترین افت دما، بیشترین/کمترین میانگین دما در جسم) گزینه مناسبی را انتخاب کند.

حل مسئله‌ای با شرایط مرزی متفاوت و غیرمتقارن در مثال چهارم انجام شده است. نتایج کد المان مرزی در تطابق خوبی با نتایج حل انسسیس است بهطوری‌که بیشترین اختلاف بین دمای‌های حاصل از این دو روش کمتر از ۰/۲٪ می‌باشد.

برای نشان دادن کارآیی روش در حل مثال‌های پیچیده‌تر، حل مسئله هدایت حرارتی در یک دیسک دایروی با تغییرات هدایت حرارتی به صورت درجه دوم در راستایشعاعی در مثال پنجم و هم‌چنین تحلیل هدایت حرارتی در یک صفحه دارای حفره داخلی در مثال ششم انجام شده است.

در مجموع، با حل مثال‌های مختلف و متنوع، کارآیی روش و کد توسعه یافته در تحلیل هدایت حرارتی در صفحات مدرج با هر نوع هندسه نشان داده شده است. تنها فرض اعمال شده در این موارد در نظر گرفتن تغییرات خواص به صورت درجه دوم در یک راستا می‌باشد.

-۷- مراجع

1. Birman, V. and Byrd, L. W. "Modeling and Analysis of Functionally Graded Materials and Structures", *J. Appl. Mech. Rev.* Vol. 60, No. 5, pp.195-216, 2007.
2. Ehsani, F., and Ehsani, F. "Transient Heat Conduction in Functionally Graded Thick Hollow Cylinders under Non-Uniform Heat Generation by Homotopy Perturbation Method", *J. Basic Appl. Sci. Res.* Vol. 2, No. 10, pp. 10676-10676, 2012.

